

Original Article

The Neuroprotective Effect of Cannabinoid Receptor Agonist (WIN55,212-2) in Paraoxon Induced Neurotoxicity in PC12 Cells and N-methyl-D-aspartate Receptor Interaction

Mansoureh Hashemi, M.Sc.^{1,2}, Farideh Bahrami, Ph.D.^{1,2*}, Hedayat Sahraei, Ph.D.^{1,2}, Leila Golmanesh, M.Sc.³, Soheil Sadri, M.Sc.⁴

1. Applied Neurosciences Research Center, Baqiyatallah (a.s.) University of Medical Sciences, Tehran, Iran
2. Physiology and Biophysics Department, Baqiyatallah (a.s.) University of Medical Sciences, Tehran, Iran
3. Molecular Biology Research Center, Baqiyatallah (a.s.) University of Medical Sciences, Tehran, Iran
4. Fertility and Infertility Research Center, Stem Cell Division, Kermanshah University of Medical Sciences, Kermanshah, Iran

* Corresponding Address: P.O.Box: 19395-6558, Physiology and Biophysics Department, Baqiyatallah (a.s.) University of Medical Sciences, Tehran, Iran
Email: farideh_bahrami@yahoo.com

Received: 6/Oct/2009, Accepted: 24/May/2010

Abstract

Objective: Considering that cannabinoids protect neurons against neurodegeneration, in this study, the neuroprotective effect of WIN55,212-2 in paraoxon induced neurotoxicity in PC12 cells and the role of the N-methyl-D-aspartate (NMDA) receptor were evaluated.

Materials and Methods: In this study PC12 cells were maintained in Dulbecco's modified eagle's medium (DMEM+F12) culture medium supplemented with 10% fetal bovine serum. The cells were treated with paraoxon (200 µM) in the presence or absence of WIN55,212-2 (0.1 µM), NMDA receptor agonist NMDA (100 µM), cannabinoid receptor antagonist AM251 and NMDA receptor antagonist MK801 (1 µM) at 15 minutes intervals. After 48 hours of exposure, cellular viability and protein expression of the CB1 receptor were evaluated in PC12 cells.

Results: Following the exposure of PC12 cells to paraoxon (200 µM), a reduction in cell survival and protein level of the CB1 receptor was observed ($p<0.01$). Treatment of the cells with WIN55,212-2 (0.1 µM) and NMDA (100 µM) prior to paraoxon exposure significantly elevated cell survival and protein level of the CB1 receptor ($p<0.01$). Also, AM251 (1µM) did not inhibit the cell survival and protein level of the CB1 receptor increase induced by WIN55,212-2 ($p<0.001$). However, MK801 (1 µM) did inhibit cell survival and protein expression of the CB1 receptor increase induced by NMDA ($p<0.001$).

Conclusion: The results indicate that WIN55,212-2 and NMDA protect PC12 cells against paraoxon induced toxicity. In addition, the neuroprotective effect of WIN55,212-2 and NMDA was cannabinoid receptor-independent and NMDA receptor dependent, respectively.

Keywords: WIN55,212-2, Paraoxon, NMDA, Viability, PC12 Cells

Yakhteh Medical Journal, Vol 12, No 2, Summer 2010, Pages: 183-190

اثر حفاظتی آگونیست گیرنده کانابینوئیدی (WIN55,212-2) در سمیت ناشی از پاروکسان در سلول‌های PC12 و تداخل گیرنده N-methyl-D-aspartate با این اثر

منصوره هاشمی^{۱*}، فریده بهرامی^۲، هدایت صحرایی^۳، Ph.D.^۱، لیلا گل‌منش^۴، M.Sc.^۴، سهیل صدری^۵، M.Sc.^۵

۱. دانشگاه علوم پزشکی بقیه‌ا... (عج)، مرکز تحقیقات علوم اعصاب کاربردی، تهران، ایران
۲. دانشگاه علوم پزشکی بقیه‌ا... (عج)، دانشکده پزشکی، گروه فیزیولوژی و بیوفیزیک، تهران، ایران
۳. دانشگاه علوم پزشکی بقیه‌ا... (عج)، مرکز تحقیقات بیولوژی مولکولی، تهران، ایران
۴. دانشگاه علوم پزشکی کرمانشاه، مرکز تحقیقات باروری و ناباروری، بخش سلول‌های بنیادی، کرمانشاه، ایران

* آدرس تویسندۀ مسئول: ایران، تهران، صندوق پستی: ۱۹۳۹۵-۶۵۵۸، دانشگاه علوم پزشکی بقیه‌الله (عج)، دانشکده پزشکی، گروه فیزیولوژی و بیوفیزیک
پست الکترونیک: Email: farideh_bahrami@yahoo.co

دریافت مقاله: ۸۸/۷/۱۵، پذیرش مقاله: ۸۹/۳/۳

چکیده

* هدف: بررسی اثر حفاظتی آگونیست گیرنده (WIN55,212-2) کانابینوئیدی در سمیت ناشی از پاروکسان در سلول‌های PC12 و نقش گیرنده NMDA در این اثر

* مواد و روش‌ها: سلول‌های رده PC12 در محیط کشت (DMEM+F12) در صد سرم کشت داده شدند. سلول‌ها با پاروکسان ۲۰۰ میکرومولار در حضور یا فقدان ۱۰ میکرومولار، آنتاگونیست گیرنده کانابینوئیدی (AM251) و آنتاگونیست گیرنده N-methyl-D-aspartate (NMDA) با دوز ۱۰۰ میکرومولار در فواصل زمانی ۱۵ دقیقه تیمار شدند. بعد از ۴۸ ساعت، درصد بقای سلول‌ها و میزان بیان پروتئین گیرنده CB1 ارزیابی شد.

* یافته‌ها: با در معرض گذاری سلول PC12 با پاروکسان (۲۰۰ میکرومولار)، کاهش معنی داری برای درصد بقای سلول‌ها و میزان بیان پروتئین گیرنده CB1 (۰/۰۱< p< ۰/۰۱) مشاهده شد (۱). تیمار سلول‌ها با ۲- WIN55,212-2 (دوز ۱۰۰ میکرومولار) و NMDA (۱۰۰ میکرومولار) قبل از در معرض گذاری پاروکسان درصد بقای سلول‌ها و میزان بیان پروتئین گیرنده CB1 را به طور معنی داری افزایش داد (۰/۰۱< p< ۰/۰۱). هم‌چنین، با دوز ۱ میکرومولار افزایش درصد بقای سلول‌ها و میزان بیان پروتئین گیرنده CB1 ایجاد شده توسط ۲- WIN55,212-2 (۰/۰۱< p< ۰/۰۱). اما MK801 با دوز ۱ میکرومولار افزایش درصد بقای سلول‌ها و میزان بیان پروتئین گیرنده CB1 ایجاد شده توسط NMDA را مهار کرد (۰/۰۱< p< ۰/۰۱).

* نتیجه‌گیری: این نتایج نشان می‌دهند که ۲- WIN55,212-2 و NMDA از سلول‌های PC12 در برابر سمیت ناشی از پاروکسان محافظت می‌کنند. به نظر می‌رسد شاید اثر حفاظت نورونی ۲- WIN55,212-2 و NMDA به ترتیب مستقل از گیرنده CB1 و باسته به گیرنده NMDA باشد.

* کلیدواژگان: آگونیست گیرنده کانابینوئیدی، پاروکسان، آگونیست گیرنده NMDA، میزان بقای سلولی، رده سلولی PC12

فصلنامه پزشکی یاخته، سال دوازدهم، شماره ۲، تابستان ۸۹، صفحات: ۱۸۳-۱۹۰

از رها شدن نوروترانسمیترهای متعدد مثل گلوتامات، گابا و سروتونین می‌باشد (۱، ۴، ۵). کانابینوئیدها پس از فعالیت، توسط آنزیم فتی اسید (Fatty Acid Amid Hydrolase؛ FAAH) موجود در جسم سلولی نورون پس سیناپسی هیدرولیز می‌شوند (۳). ترکیبات ارگانوفسفره (OP؛ Organophosphorus) عوامل عصبی هستند که هنوز به عنوان سلاح‌های شیمیایی در حملات جنگی و برای مبارزه با آفات در کشاورزی استفاده می‌شوند. مکانیسم اصلی مسمومیت حداد با ترکیبات ارگانوفسفره مهار آنزیم استیل کولین استراز (آنزیم تجزیه کننده نوروترانسمیتر استیل کولین) است. پس از مهار این آنزیم، مسمومیت کولینرژیک ایجاد می‌شود (۶). علاوه بر اثر کولینرژیکی، ترکیبات ارگانوفسفره با تولید رادیکال‌های آزاد، ساختارهای سلولی را پراکسیده می‌کند. رادیکال‌های آزاد تولید شده در مغز باعث کاهش مصرف اکسیژن، پیری و آسیب نورونی می‌شوند (۷). ترکیبات ارگانوفسفره مسمومیت مزمن را ایجاد می‌کند که اختلالات عصبی از جمله: بیماری‌های آلزایمر (۸)، پارکینسون (۹) و

مقدمه
کانابینوئیدها، گروهی از ترکیبات ۲۱ کربنی هستند که از ریشه‌های غده‌ای گیاهی به نام Cannabis Sativa تهیه می‌شوند. فعال ترین شکل این مواد (Δ^9 -THC) (Δ^9 -Tetrahydrocannabinol) می‌باشد (۱، ۲). سیستم کانابینوئیدی از گیرنده‌های کانابینوئیدی، لیگاندهای اندوژن و آنزیم‌های بیوسنتر کننده و تجزیه کننده کانابینوئیدی تشکیل شده است (۳). امروزه دو نوع گیرنده کانابینوئیدی CB1 و CB2 را شناسایی کرده‌اند؛ گیرنده‌های CB1 در طحال، سلول‌های ایمنی و روده سیستم عصبی و گیرنده‌های CB2 در طحال، سلول‌های ایمنی و روده وجود دارند. به دنبال شناسایی گیرنده‌های کانابینوئیدی، لیگاندهای کانابینوئیدی برای این گیرنده‌ها کشف شدند (۱). کانابینوئیدها به عنوان ضدتشنج، آنتی‌اکسیدان، ضدتھوع، ضدسرطان، ضدالتهاب و محافظت کننده نورونی (Neuroprotection) عمل می‌کنند (۱، ۳). نقش حفاظت نورونی کانابینوئیدها مربوط به مکانیسم‌های مختلفی مثل مهار کانال‌های کلسیمی دریچه دار وابسته به ولتاژ و جلوگیری

اثر حفاظتی 2,12,55-WIN و تداخل آن با گیرنده CB1

مدت ۴۸ ساعت در انکوباتور ۳۷ درجه سانتی گراد با ۵ درصد CO_2 نگهداری شدند. پس از گذشت ۴۸ ساعت، سلول‌ها برای ارزیابی در صد بقا و سنجش بیان پروتئین گیرنده CB1 آماده شدند.

ارزیابی میزان بقا سلول‌ها (Viability Assay)

برای سنجش میزان بقا سلول‌ها از کیت MTS [-5-(3-carboxymethoxyphenyl)-2-(4-sulfophenyl)-2-H-tetrazolium- inner salt, MTS 3-(4,5-dimethylazol-2-yl)] استفاده شد. به این منظور سلول‌های PC12 با تراکم 1×10^4 سلول در هر خانه ظروف کشت ۹۶ خانه، کشت داده شدند سپس سلول‌ها در مععرض تیمارهای مختلف قرار گرفتند. پس از ۴۸ ساعت، دو محلول کیت MTS حاوی Phenazine Methasulfate (PMS) به نسبت ۱:۲۰ در ۶ سی سی محیط کشت DMEM+F12 حل شدند. پس از تخلیه محیط قبلی، ۱۲۰ میکرولیتر از محلول MTS حل شده به هر خانه ظروف کشت ۹۶ خانه اضافه شد. سپس سلول‌ها به مدت ۲ ساعت در انکوباتور ۳۷ درجه سانتی گراد انکوبه شدند. بعد از این مدت، جذب نوری سلول‌های زنده رنگ گرفته توسط دستگاه الایزا (Enzyme Linked Immunosorbent Assay; ELISA) در طول موج ۴۹۰ نانومتر خوانده شدند.

وسترن بلاط

ابتدا برای تهیه هموژن سلولی، سلول‌ها با تراکم تقریباً 2×10^6 در هر خانه ظروف کشت ۶ خانه کشت داده شدند. پس از گذشت ۴۸ ساعت، سلول‌ها دوباره با بافر فسفات (PBS) سرد شسته شدند. سپس با بافر لیز سرد ۲۵ میلی مولار Tris-HCL ۱ میلی مولار EDTA یک درصد تریتون X100، یک میلی مولار فنیل متیل سولفونیل فلوراید (PMSF) و $\text{pH}=7/4$ لیز و از ته ظرف جدا شدند. نمونه‌ها به طور جداگانه جمع آوری شدند و به مدت ۳۰ دقیقه روی یخ قرار گرفتند. نمونه‌ها با سرعت ۱۰۰۰ دور در دقیقه به مدت ۱۰ دقیقه در دمای ۴ درجه سانتی گراد سانتریفیوژ شدند. در نهایت، مایع رویی که حاوی پروتئین بود برداشته شد. پس از سنجش پروتئین به روش برادرفت SDS-PAGE (۱۲)، ۱۲ میکرو گرم از پروتئین هر نمونه بر روی ژل ۱۰ درصد برده شد. پس از مرحله بلاط شدن (انتقال پروتئین از ژل به غشای نیتروسولوز)، پروتئین‌ها بر روی غشای نیتروسولوز با آنتی‌بادی پلی کلونال اختصاصی علیه گیرنده CB1 با رقت ۱:۲۰۰ حاصل از خرگوش یا با آنتی‌بادی اختصاصی علیه بتا-اکتین به مدت یک شب در دمای ۴ درجه سانتی گراد انکوبه گردیدند. گیرنده CB1 و پروتئین بتا-اکتین توسط آنتی‌بادی اختصاصی اولیه شناسایی شدند و به آنها اتصال یافتند. سپس آنتی‌بادی‌های ثانویه اختصاصی خرگوش متصل به HRP (Horse Radish Peroxidase) برای شناسایی آنتی‌بادی‌های علیه گیرنده CB1 و بتا-اکتین با رقت ۱:۱۰۰۰ مورد استفاده قرار گرفت. انکوباسیون آنتی‌بادی‌های ثانویه به مدت یک ساعت در دمای اتاق صورت گرفت. بعد از شست و شوی غشای نیتروسولوز، سوبسترای مایع TMB (Tetramethylbenzidine) در اثر واکنش TMB با HRP، باندهای پروتئینی ظاهر شد.

تجزیه و تحلیل آماری داده‌ها

داده‌های مربوط به وسترن بلاط با استفاده از نرم افزار J Image به دست آمد. داده‌های وسترن بلاط و درصد بقا سلول‌ها به صورت

MS (Multiple Sclerosis) اختلالات، محققان در جستجوی ترکیب موثر در پیشگیری از آسیب نورونی هستند. یک دسته از ترکیباتی که امروزه مورد بررسی قرار می‌گیرد، کانایینوئیدها هستند که شاید در آینده به عنوان حفاظت کننده نورونی مورد استفاده قرار گیرند.

سلول‌های رده PC12 از سلول‌های فتوکرومومیتوامی فوق کلیه رت تهیه می‌شوند. با توجه به تحقیقات قبلی به نظر می‌رسد که این سلول‌ها، مدل مناسبی برای مطالعه مشکلات مختلف نوروبیولوژی و نورو شیمی باشند (۱۱). از آنجایی که رده سلولی PC12 حاوی گیرنده CB1 می‌باشد، به نظر می‌رسد این سلول‌ها برای بررسی اثر حفاظت کننده کانایینوئیدها در برابر عوامل ارگانوفسفره مناسب باشند (۱۱).

از آنجایی که مطالعه مکانیسم‌های اثر حفاظتی کانایینوئیدها بسیار مورد توجه محققین قرار گرفته است، بر آن شدید تا علاوه بر اثر محافظتی کانایینوئیدها، تداخل گیرنده N-methyl-D-aspartate (NMDA) با این اثر را در برابر سمیت ناشی از پاروکسان در سلول‌های PC12 مورد ارزیابی قرار دهیم.

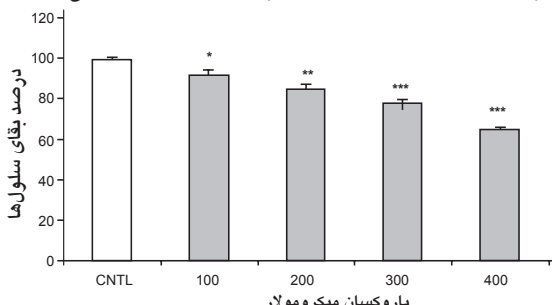
مواد و روش‌ها

کشت و تیمار سلول‌های رده PC12

سلول‌های PC12 از بانک سلولی انتستیو پاستور ایران تهیه شد. سلول‌ها در فلاسک‌های کشت ۴۰ میلی‌لیتری در محیط کشت شد. سلول‌ها در فلاسک‌های Gibco, UK) DMEM+F12 (Gibco, UK) Fetal Bovine Serum (Gibco, UK) و ۱ درصد آنتی‌بیوتیک آنتی‌مايكوتیک کشت داده و در انکوباتور ۳۷ درجه سانتی گراد با ۵ درصد CO_2 نگهداری شدند. در ابتدا برای تعیین دوز مناسب، سلول‌ها با دوزهای مختلف آگونیست گیرنده CB1 (WIN55,212-2) (Tocris) (AM251)، آنتاگونیست گیرنده CB1 (Tocris) (AM251)، CB1 (Sigma) و پاروکسان (Sigma) تیمار شدند. در مرحله بعد سلول‌ها در گروه‌های مختلف به ترتیب زیر تیمار شدند:

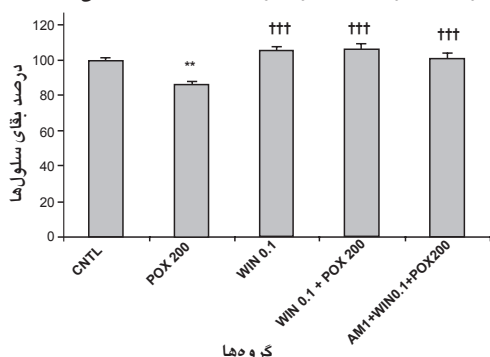
۱. پاروکسان (۲۰۰ میکرومولار)، ۲. WIN55,212-2 (۱۰۰ میکرومولار)، ۳. NMDA (آگونیست گیرنده MK801)، ۴. آنتاگونیست گیرنده MK801 (۱۰۰ میکرومولار)، ۵. WIN55,212-2 (۱۵ دقیقه قبل از پاروکسان (۲۰۰ میکرومولار) (WIN+POX)، ۶. AM251 (۱۵ دقیقه قبل از میکرومولار) (۰/۱۰ میکرومولار)، ۷. WIN55,212-2 (۱۵ دقیقه بعد از پاروکسان (۲۰۰ میکرومولار) (۰/۱۰ میکرومولار)، ۸. WIN55,212-2 (۱۵ دقیقه بعد از پاروکسان (۲۰۰ میکرومولار) (۰/۱۰ میکرومولار)، ۹. MK+NMDA+POX (۰/۱۰ میکرومولار)، ۱۰. WIN55,212-2 (۱۵ دقیقه قبل از MK+NMDA+POX (۰/۱۰ میکرومولار)، ۱۱. WIN55,212-2 (۱۵ دقیقه قبل از MK+NMDA+POX (۰/۱۰ میکرومولار)، ۱۲. MK801 (۱۰۰ میکرومولار)، ۱۳. NMDA (۱۰۰ میکرومولار)، ۱۴. MK801 (۱۰۰ میکرومولار)، ۱۵. NMDA (۱۰۰ میکرومولار)، ۱۶. MK801 (۱۰۰ میکرومولار)، ۱۷. NMDA (۱۰۰ میکرومولار)، ۱۸. MK801 (۱۰۰ میکرومولار)، ۱۹. NMDA (۱۰۰ میکرومولار)، ۲۰. MK801 (۱۰۰ میکرومولار)، ۲۱. WIN55,212-2 (۱۵ دقیقه قبل از MK801 (۱۰۰ میکرومولار)، ۲۲. MK801 (۱۰۰ میکرومولار)، ۲۳. NMDA (۱۰۰ میکرومولار)، ۲۴. MK801 (۱۰۰ میکرومولار)، ۲۵. NMDA (۱۰۰ میکرومولار)، ۲۶. MK801 (۱۰۰ میکرومولار)، ۲۷. NMDA (۱۰۰ میکرومولار)، ۲۸. MK801 (۱۰۰ میکرومولار)، ۲۹. NMDA (۱۰۰ میکرومولار)، ۳۰. MK801 (۱۰۰ میکرومولار)، ۳۱. NMDA (۱۰۰ میکرومولار)، ۳۲. MK801 (۱۰۰ میکرومولار)، ۳۳. NMDA (۱۰۰ میکرومولار)، ۳۴. MK801 (۱۰۰ میکرومولار)، ۳۵. NMDA (۱۰۰ میکرومولار)، ۳۶. MK801 (۱۰۰ میکرومولار)، ۳۷. NMDA (۱۰۰ میکرومولار)، ۳۸. MK801 (۱۰۰ میکرومولار)، ۳۹. NMDA (۱۰۰ میکرومولار)، ۴۰. MK801 (۱۰۰ میکرومولار)، ۴۱. NMDA (۱۰۰ میکرومولار)، ۴۲. MK801 (۱۰۰ میکرومولار)، ۴۳. NMDA (۱۰۰ میکرومولار)، ۴۴. MK801 (۱۰۰ میکرومولار)، ۴۵. NMDA (۱۰۰ میکرومولار)، ۴۶. MK801 (۱۰۰ میکرومولار)، ۴۷. NMDA (۱۰۰ میکرومولار)، ۴۸. MK801 (۱۰۰ میکرومولار)، ۴۹. NMDA (۱۰۰ میکرومولار)، ۵۰. MK801 (۱۰۰ میکرومولار)، ۵۱. NMDA (۱۰۰ میکرومولار)، ۵۲. MK801 (۱۰۰ میکرومولار)، ۵۳. NMDA (۱۰۰ میکرومولار)، ۵۴. MK801 (۱۰۰ میکرومولار)، ۵۵. NMDA (۱۰۰ میکرومولار)، ۵۶. MK801 (۱۰۰ میکرومولار)، ۵۷. NMDA (۱۰۰ میکرومولار)، ۵۸. MK801 (۱۰۰ میکرومولار)، ۵۹. NMDA (۱۰۰ میکرومولار)، ۶۰. MK801 (۱۰۰ میکرومولار)، ۶۱. NMDA (۱۰۰ میکرومولار)، ۶۲. MK801 (۱۰۰ میکرومولار)، ۶۳. NMDA (۱۰۰ میکرومولار)، ۶۴. MK801 (۱۰۰ میکرومولار)، ۶۵. NMDA (۱۰۰ میکرومولار)، ۶۶. MK801 (۱۰۰ میکرومولار)، ۶۷. NMDA (۱۰۰ میکرومولار)، ۶۸. MK801 (۱۰۰ میکرومولار)، ۶۹. NMDA (۱۰۰ میکرومولار)، ۷۰. MK801 (۱۰۰ میکرومولار)، ۷۱. NMDA (۱۰۰ میکرومولار)، ۷۲. MK801 (۱۰۰ میکرومولار)، ۷۳. NMDA (۱۰۰ میکرومولار)، ۷۴. MK801 (۱۰۰ میکرومولار)، ۷۵. NMDA (۱۰۰ میکرومولار)، ۷۶. MK801 (۱۰۰ میکرومولار)، ۷۷. NMDA (۱۰۰ میکرومولار)، ۷۸. MK801 (۱۰۰ میکرومولار)، ۷۹. NMDA (۱۰۰ میکرومولار)، ۸۰. MK801 (۱۰۰ میکرومولار)، ۸۱. NMDA (۱۰۰ میکرومولار)، ۸۲. MK801 (۱۰۰ میکرومولار)، ۸۳. NMDA (۱۰۰ میکرومولار)، ۸۴. MK801 (۱۰۰ میکرومولار)، ۸۵. NMDA (۱۰۰ میکرومولار)، ۸۶. MK801 (۱۰۰ میکرومولار)، ۸۷. NMDA (۱۰۰ میکرومولار)، ۸۸. MK801 (۱۰۰ میکرومولار)، ۸۹. NMDA (۱۰۰ میکرومولار)، ۹۰. MK801 (۱۰۰ میکرومولار)، ۹۱. NMDA (۱۰۰ میکرومولار)، ۹۲. MK801 (۱۰۰ میکرومولار)، ۹۳. NMDA (۱۰۰ میکرومولار)، ۹۴. MK801 (۱۰۰ میکرومولار)، ۹۵. NMDA (۱۰۰ میکرومولار)، ۹۶. MK801 (۱۰۰ میکرومولار)، ۹۷. NMDA (۱۰۰ میکرومولار)، ۹۸. MK801 (۱۰۰ میکرومولار)، ۹۹. NMDA (۱۰۰ میکرومولار)، ۱۰۰. MK801 (۱۰۰ میکرومولار)، ۱۰۱. NMDA (۱۰۰ میکرومولار)، ۱۰۲. MK801 (۱۰۰ میکرومولار)، ۱۰۳. NMDA (۱۰۰ میکرومولار)، ۱۰۴. MK801 (۱۰۰ میکرومولار)، ۱۰۵. NMDA (۱۰۰ میکرومولار)، ۱۰۶. MK801 (۱۰۰ میکرومولار)، ۱۰۷. NMDA (۱۰۰ میکرومولار)، ۱۰۸. MK801 (۱۰۰ میکرومولار)، ۱۰۹. NMDA (۱۰۰ میکرومولار)، ۱۱۰. MK801 (۱۰۰ میکرومولار)، ۱۱۱. NMDA (۱۰۰ میکرومولار)، ۱۱۲. MK801 (۱۰۰ میکرومولار)، ۱۱۳. NMDA (۱۰۰ میکرومولار)، ۱۱۴. MK801 (۱۰۰ میکرومولار)، ۱۱۵. NMDA (۱۰۰ میکرومولار)، ۱۱۶. MK801 (۱۰۰ میکرومولار)، ۱۱۷. NMDA (۱۰۰ میکرومولار)، ۱۱۸. MK801 (۱۰۰ میکرومولار)، ۱۱۹. NMDA (۱۰۰ میکرومولار)، ۱۲۰. MK801 (۱۰۰ میکرومولار)، ۱۲۱. NMDA (۱۰۰ میکرومولار)، ۱۲۲. MK801 (۱۰۰ میکرومولار)، ۱۲۳. NMDA (۱۰۰ میکرومولار)، ۱۲۴. MK801 (۱۰۰ میکرومولار)، ۱۲۵. NMDA (۱۰۰ میکرومولار)، ۱۲۶. MK801 (۱۰۰ میکرومولار)، ۱۲۷. NMDA (۱۰۰ میکرومولار)، ۱۲۸. MK801 (۱۰۰ میکرومولار)، ۱۲۹. NMDA (۱۰۰ میکرومولار)، ۱۳۰. MK801 (۱۰۰ میکرومولار)، ۱۳۱. NMDA (۱۰۰ میکرومولار)، ۱۳۲. MK801 (۱۰۰ میکرومولار)، ۱۳۳. NMDA (۱۰۰ میکرومولار)، ۱۳۴. MK801 (۱۰۰ میکرومولار)، ۱۳۵. NMDA (۱۰۰ میکرومولار)، ۱۳۶. MK801 (۱۰۰ میکرومولار)، ۱۳۷. NMDA (۱۰۰ میکرومولار)، ۱۳۸. MK801 (۱۰۰ میکرومولار)، ۱۳۹. NMDA (۱۰۰ میکرومولار)، ۱۴۰. MK801 (۱۰۰ میکرومولار)، ۱۴۱. NMDA (۱۰۰ میکرومولار)، ۱۴۲. MK801 (۱۰۰ میکرومولار)، ۱۴۳. NMDA (۱۰۰ میکرومولار)، ۱۴۴. MK801 (۱۰۰ میکرومولار)، ۱۴۵. NMDA (۱۰۰ میکرومولار)، ۱۴۶. MK801 (۱۰۰ میکرومولار)، ۱۴۷. NMDA (۱۰۰ میکرومولار)، ۱۴۸. MK801 (۱۰۰ میکرومولار)، ۱۴۹. NMDA (۱۰۰ میکرومولار)، ۱۵۰. MK801 (۱۰۰ میکرومولار)، ۱۵۱. NMDA (۱۰۰ میکرومولار)، ۱۵۲. MK801 (۱۰۰ میکرومولار)، ۱۵۳. NMDA (۱۰۰ میکرومولار)، ۱۵۴. MK801 (۱۰۰ میکرومولار)، ۱۵۵. NMDA (۱۰۰ میکرومولار)، ۱۵۶. MK801 (۱۰۰ میکرومولار)، ۱۵۷. NMDA (۱۰۰ میکرومولار)، ۱۵۸. MK801 (۱۰۰ میکرومولار)، ۱۵۹. NMDA (۱۰۰ میکرومولار)، ۱۶۰. MK801 (۱۰۰ میکرومولار)، ۱۶۱. NMDA (۱۰۰ میکرومولار)، ۱۶۲. MK801 (۱۰۰ میکرومولار)، ۱۶۳. NMDA (۱۰۰ میکرومولار)، ۱۶۴. MK801 (۱۰۰ میکرومولار)، ۱۶۵. NMDA (۱۰۰ میکرومولار)، ۱۶۶. MK801 (۱۰۰ میکرومولار)، ۱۶۷. NMDA (۱۰۰ میکرومولار)، ۱۶۸. MK801 (۱۰۰ میکرومولار)، ۱۶۹. NMDA (۱۰۰ میکرومولار)، ۱۷۰. MK801 (۱۰۰ میکرومولار)، ۱۷۱. NMDA (۱۰۰ میکرومولار)، ۱۷۲. MK801 (۱۰۰ میکرومولار)، ۱۷۳. NMDA (۱۰۰ میکرومولار)، ۱۷۴. MK801 (۱۰۰ میکرومولار)، ۱۷۵. NMDA (۱۰۰ میکرومولار)، ۱۷۶. MK801 (۱۰۰ میکرومولار)، ۱۷۷. NMDA (۱۰۰ میکرومولار)، ۱۷۸. MK801 (۱۰۰ میکرومولار)، ۱۷۹. NMDA (۱۰۰ میکرومولار)، ۱۸۰. MK801 (۱۰۰ میکرومولار)، ۱۸۱. NMDA (۱۰۰ میکرومولار)، ۱۸۲. MK801 (۱۰۰ میکرومولار)، ۱۸۳. NMDA (۱۰۰ میکرومولار)، ۱۸۴. MK801 (۱۰۰ میکرومولار)، ۱۸۵. NMDA (۱۰۰ میکرومولار)، ۱۸۶. MK801 (۱۰۰ میکرومولار)، ۱۸۷. NMDA (۱۰۰ میکرومولار)، ۱۸۸. MK801 (۱۰۰ میکرومولار)، ۱۸۹. NMDA (۱۰۰ میکرومولار)، ۱۹۰. MK801 (۱۰۰ میکرومولار)، ۱۹۱. NMDA (۱۰۰ میکرومولار)، ۱۹۲. MK801 (۱۰۰ میکرومولار)، ۱۹۳. NMDA (۱۰۰ میکرومولار)، ۱۹۴. MK801 (۱۰۰ میکرومولار)، ۱۹۵. NMDA (۱۰۰ میکرومولار)، ۱۹۶. MK801 (۱۰۰ میکرومولار)، ۱۹۷. NMDA (۱۰۰ میکرومولار)، ۱۹۸. MK801 (۱۰۰ میکرومولار)، ۱۹۹. NMDA (۱۰۰ میکرومولار)، ۲۰۰. MK801 (۱۰۰ میکرومولار)، ۲۰۱. NMDA (۱۰۰ میکرومولار)، ۲۰۲. MK801 (۱۰۰ میکرومولار)، ۲۰۳. NMDA (۱۰۰ میکرومولار)، ۲۰۴. MK801 (۱۰۰ میکرومولار)، ۲۰۵. NMDA (۱۰۰ میکرومولار)، ۲۰۶. MK801 (۱۰۰ میکرومولار)، ۲۰۷. NMDA (۱۰۰ میکرومولار)، ۲۰۸. MK801 (۱۰۰ میکرومولار)، ۲۰۹. NMDA (۱۰۰ میکرومولار)، ۲۱۰. MK801 (۱۰۰ میکرومولار)، ۲۱۱. NMDA (۱۰۰ میکرومولار)، ۲۱۲. MK801 (۱۰۰ میکرومولار)، ۲۱۳. NMDA (۱۰۰ میکرومولار)، ۲۱۴. MK801 (۱۰۰ میکرومولار)، ۲۱۵. NMDA (۱۰۰ میکرومولار)، ۲۱۶. MK801 (۱۰۰ میکرومولار)، ۲۱۷. NMDA (۱۰۰ میکرومولار)، ۲۱۸. MK801 (۱۰۰ میکرومولار)، ۲۱۹. NMDA (۱۰۰ میکرومولار)، ۲۲۰. MK801 (۱۰۰ میکرومولار)، ۲۲۱. NMDA (۱۰۰ میکرومولار)، ۲۲۲. MK801 (۱۰۰ میکرومولار)، ۲۲۳. NMDA (۱۰۰ میکرومولار)، ۲۲۴. MK801 (۱۰۰ میکرومولار)، ۲۲۵. NMDA (۱۰۰ میکرومولار)، ۲۲۶. MK801 (۱۰۰ میکرومولار)، ۲۲۷. NMDA (۱۰۰ میکرومولار)، ۲۲۸. MK801 (۱۰۰ میکرومولار)، ۲۲۹. NMDA (۱۰۰ میکرومولار)، ۲۳۰. MK801 (۱۰۰ میکرومولار)، ۲۳۱. NMDA (۱۰۰ میکرومولار)، ۲۳۲. MK801 (۱۰۰ میکرومولار)، ۲۳۳. NMDA (۱۰۰ میکرومولار)، ۲۳۴. MK801 (۱۰۰ میکرومولار)، ۲۳۵. NMDA (۱۰۰ میکرومولار)، ۲۳۶. MK801 (۱۰۰ میکرومولار)، ۲۳۷. NMDA (۱۰۰ میکرومولار)، ۲۳۸. MK801 (۱۰۰ میکرومولار)، ۲۳۹. NMDA (۱۰۰ میکرومولار)، ۲۴۰. MK801 (۱۰۰ میکرومولار)، ۲۴۱. NMDA (۱۰۰ میکرومولار)، ۲۴۲. MK801 (۱۰۰ میکرومولار)، ۲۴۳. NMDA (۱۰۰ میکرومولار)، ۲۴۴. MK801 (۱۰۰ میکرومولار)، ۲۴۵. NMDA (۱۰۰ میکرومولار)، ۲۴۶. MK801 (۱۰۰ میکرومولار)، ۲۴۷. NMDA (۱۰۰ میکرومولار)، ۲۴۸. MK801 (۱۰۰ میکرومولار)، ۲۴۹. NMDA (۱۰۰ میکرومولار)، ۲۵۰. MK801 (۱۰۰ میکرومولار)، ۲۵۱. NMDA (۱۰۰ میکرومولار)، ۲۵۲. MK801 (۱۰۰ میکرومولار)، ۲۵۳. NMDA (۱۰۰ میکرومولار)، ۲۵۴. MK801 (۱۰۰ میکرومولار)، ۲۵۵. NMDA (۱۰۰ میکرومولار)، ۲۵۶. MK801 (۱۰۰ میکرومولار)، ۲۵۷. NMDA (۱۰۰ میکرومولار)، ۲۵۸. MK801 (۱۰۰ میکرومولار)، ۲۵۹. NMDA (۱۰۰ میکرومولار)، ۲۶۰. MK801 (۱۰۰ میکرومولار)، ۲۶۱. NMDA (۱۰۰ میکرومولار)، ۲۶۲. MK801 (۱۰۰ میکرومولار)، ۲۶۳. NMDA (۱۰۰ میکرومولار)، ۲۶۴. MK801 (۱۰۰ میکرومولار)، ۲۶۵. NMDA (۱۰۰ میکرومولار)، ۲۶۶. MK801 (۱۰۰ میکرومولار)، ۲۶۷. NMDA (۱۰۰ میکرومولار)، ۲۶۸. MK801 (۱۰۰ میکرومولار)، ۲۶۹. NMDA (۱۰۰ میکرومولار)، ۲۷۰. MK801 (۱۰۰ میکرومولار)، ۲۷۱. NMDA (۱۰۰ میکرومولار)، ۲۷۲. MK801 (۱۰۰ میکرومولار)، ۲۷۳. NMDA (۱۰۰ میکرومولار)، ۲۷۴. MK801 (۱۰۰ میکرومولار)، ۲۷۵. NMDA (۱۰۰ میکرومولار)، ۲۷۶. MK801 (۱۰۰ میکرومولار)، ۲۷۷. NMDA (۱۰۰ میکرومولار)، ۲۷۸. MK801 (۱۰۰ میکرومولار)، ۲۷۹. NMDA (۱۰۰ میکرومولار)، ۲۸۰. MK801 (۱۰۰ میکرومولار)، ۲۸۱. NMDA (۱۰۰ میکرومولار)، ۲۸۲. MK801 (۱۰۰ میکرومولار)، ۲۸۳. NMDA (۱۰۰ میکرومولار)، ۲۸۴. MK801 (۱۰۰ میکرومولار)، ۲۸۵. NMDA (۱۰۰ میکرومولار)، ۲۸۶. MK801 (۱۰۰ میکرومولار)، ۲۸۷. NMDA (۱۰۰ میکرومولار)، ۲۸۸. MK801 (۱۰۰ میکرومولار)، ۲۸۹. NMDA (۱۰۰ میکرومولار)، ۲۹۰. MK801 (۱۰۰ میکرومولار)، ۲۹۱. NMDA (۱۰۰ میکرومولار)، ۲۹۲. MK801 (۱۰۰ میکرومولار)، ۲۹۳. NMDA (۱۰۰ میکرومولار)، ۲۹۴. MK801 (۱۰۰ میکرومولار)، ۲۹۵. NMDA (۱۰۰ میکرومولار)، ۲۹۶. MK801 (۱۰۰ میکرومولار)، ۲۹۷. NMDA (۱۰۰ میکرومولار)، ۲۹۸. MK801 (۱۰۰ میکرومولار)، ۲۹۹. NMDA (۱۰۰ میکرومولار)، ۳۰۰. MK801 (۱۰۰ میکرومولار)، ۳۰۱. NMDA (۱۰۰ میکرومولار)، ۳۰۲. MK801 (۱۰۰ میکرومولار)، ۳۰۳. NMDA (۱۰۰ میکرومولار)، ۳۰۴. MK801 (۱۰۰ میکرومولار)، ۳۰۵. NMDA (۱۰۰ میکرومولار)، ۳۰۶. MK801 (۱۰۰ میکرومولار)، ۳۰۷. NMDA (۱۰۰ میکرومولار)، ۳۰۸. MK801 (۱۰۰ میکرومولار)، ۳۰۹. NMDA (۱۰۰ میکرومولار)، ۳۱۰. MK801 (۱۰۰ میکرومولار)، ۳۱۱. NMDA (۱۰۰ میکرومولار)، ۳۱۲. MK801 (۱۰۰ میکرومولار)، ۳۱۳. NMDA (۱۰۰ میکرومولار)، ۳۱۴. MK801 (۱۰۰ میکرومولار)، ۳۱۵. NMDA (۱۰۰ میکرومولار)، ۳۱۶. MK801 (۱۰۰ میکرومولار)، ۳۱۷. NMDA (۱۰۰ میکرومولار)، ۳۱۸. MK801 (۱۰۰ میکرومولار)، ۳۱۹. NMDA (۱۰۰ میکرومولار)، ۳۲۰. MK801 (۱۰۰ میکرومولار)، ۳۲۱. NMDA (۱۰۰ میکرومولار)، ۳۲۲. MK801 (۱۰۰ میکرومولار)، ۳۲۳. NMDA (۱۰۰ میکرومولار)، ۳۲۴. MK801 (۱۰۰ میکرومولار)، ۳۲۵. NMDA (۱۰۰ میکرومولار)، ۳۲۶. MK801 (۱۰۰ میکرومولار)،

در قسمت سوم مطالعه هدف اصلی، یافتن دوز مناسب پاروکسان بود. طبق نتایج حاصل دوز ۲۰۰ میکرو مولار پاروکسان درصد بقای سلول را به طور معنی داری نسبت به گروه کنترل کاهش داد ($P < 0.01$). بدین ترتیب این دوز با کاهش ۱۵ درصدی بقای سلولی در ادامه آزمایش به عنوان دوز مناسب مورد استفاده قرار گرفت؛ (درصد بقای سلول در دوز ۱۰۰ میکرو مولار پاروکسان ۹۲ درصد و دوز ۲۰۰ میکرو مولار پاروکسان ۸۵ درصد، دوز ۳۰۰ میکرو مولار ۷۸ درصد و دوز ۴۰۰ میکرو مولار ۶۵ درصد (شکل ۳).



شکل ۳: اثر دوزهای مختلف پاروکسان بر درصد بقای سلولهای PC12 پس از ۴۸ ساعت انکوباسیون *** به ترتیب نشانده‌ند $p < 0.001$ و ** به مقایسه با گروه کنترل ($n=6$).

اثر تأثیرگذاری آنتاگونیستها با پاروکسان بر درصد بقای سلولهای PC12 نتایج بقای سلولها در هنگامی که سلولها با WIN55,212-2 ۱۵ دقیقه قبل از پاروکسان تیمار شدند، نشان داد که در گروه WIN55,212-2 همراه با پاروکسان درصد بقای سلولهای PC12 در مقایسه با گروه پاروکسان به طور معنی داری افزایش می‌یابد ($p < 0.001$). برای تعیین اینکه آیا اثر حفاظتی ۲-۲ WIN55,212-2 WIN55,212-2 CB1 (آتاگونیست گیرنده CB1) انجام می‌شود؟ دوز ۱ میکرو مولار AM251 در گروه دیگری مورد بررسی قرار گرفت. در این گروه سلولهای PC12 با AM251 ۱۵ دقیقه قبل از WIN55,212-2 و پاروکسان ۱۵ دقیقه بعد از WIN55,212-2 تیمار شدند. نتایج نشان داد که اثرات حفاظتی ۲-۲ WIN55,212-2 نسبت AM251 مهار نمی‌شود ($p < 0.001$). بنابراین به نظر می‌رسد که اثر حفاظتی ۲-۲ WIN55,212-2 ممکن است از طریق گیرنده دیگری علاوه بر گیرنده CB1 باشد (شکل ۴).

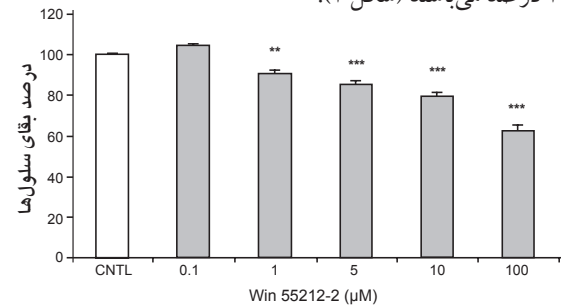


شکل ۴: اثر تأثیرگذاری آنتاگونیستها با پاروکسان بر درصد بقای سلولهای WIN55,212-2. PC12 ۱۵ دقیقه قبل از پاروکسان به محیط کشت اضافه شد (WIN+POX) و در گروه دیگر ۱۵ AM251 دقیقه قبل از WIN و پاروکسان ۱۵ دقیقه بعد از WIN به محیط کشت اضافه شدند (AM+WIN+POX). در نهایت سلولهای تیمار شده ۴۸ ساعت انتوپه شدند. *** نشان دهنده $p < 0.001$ در مقایسه با گروه کنترل. *** نشان دهنده $p < 0.001$ در مقایسه با پاروکسان ($n=6$).

میانگین و انحراف از خطای میانگین محاسبه شد و از آزمون آنالیز واریانس یک طرفه (One-way ANOVA) و با استفاده از تست Tukey برای بررسی معنی دار بودن اختلاف بین گروهها استفاده شد. تفاوت های با $p < 0.05$ معنی دار در نظر گرفته شد.

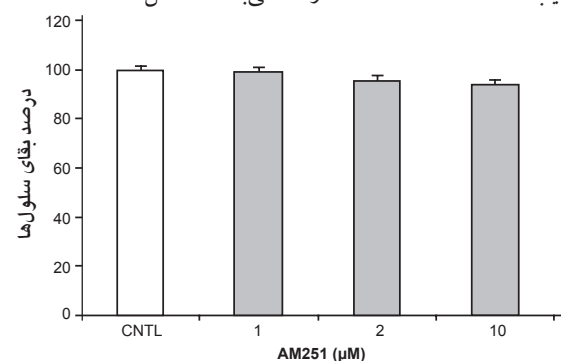
یافته ها

اثر ۲-۲ AM251 و WIN55,212-2 پاروکسان بر درصد بقای سلولها در قسمت اول برای اینکه دوز - پاسخ ۲-۲ WIN55,212-2 را تعیین کنیم. سلولهای PC12 با دوزهای مختلف ۰/۱، ۱، ۵، ۱۰ و ۱۰۰ میکرومولار WIN55,212-2 تیمار شدند. نتایج نشان داد که دوزهای ۱، ۵ و ۱۰۰ میکرومولار ۲-۲ WIN55,212-2 اثر سمی دارند و منجر به کاهش درصد بقای سلولهای PC12 می‌شوند ($p < 0.001$). اما دوز ۱/۰۰ میکرومولار WIN55,212-2 نه تنها خاصیت سمی نشان نداد، بلکه درصد بقای سلولهای PC12 را افزایش داد. هر چند این افزایش معنی دار نیست. بنابراین در ادامه آزمایش از دوز ۰/۱ میکرومولار به عنوان دوز پیشنهادی برای حفاظت نورونی استفاده شد، درصد بقای سلولها در دوزهای ۱، ۵، ۱۰، ۱۰۰، ۱۰۵، ۱۱۰ به ترتیب ۹۱، ۸۵، ۸۰، ۶۳ و ۱۰۵ درصد می‌باشد (شکل ۱).



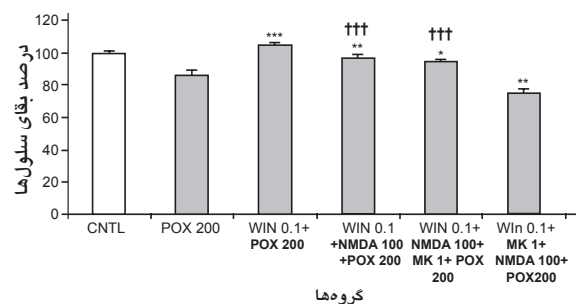
شکل ۱: اثر دوزهای مختلف آگونیست گیرنده CB1 (WIN55,212-2) بر درصد بقای سلولهای PC12 پس از ۴۸ ساعت انکوباسیون *** به ترتیب نشانده‌ند $p < 0.001$ و ** به مقایسه با گروه کنترل ($n=6$).

در قسمت دوم، سلولهای PC12 برای تعیین دوز پاسخ آتاگونیست گیرنده CB1 (AM251) با دوزهای مختلف ۱، ۲، ۱۰، ۱۰۰ میکرومولار تیمار شدند. درصد بقای سلولهای PC12 با افزایش دوز ۱ AM251 کاهش یافت. در نتیجه، دوز پاسخ مناسب برای ادامه کار دوز ۱ میکرومولار انتخاب شد؛ (درصد بقای سلول در دوزهای ۱، ۲، ۱۰، ۱۰۰ میکرومولار به ترتیب ۹۳/۸۲، ۹۵/۸۲، ۹۹/۱۳، ۹۵/۱۳ درصد می‌باشد (شکل ۲)).

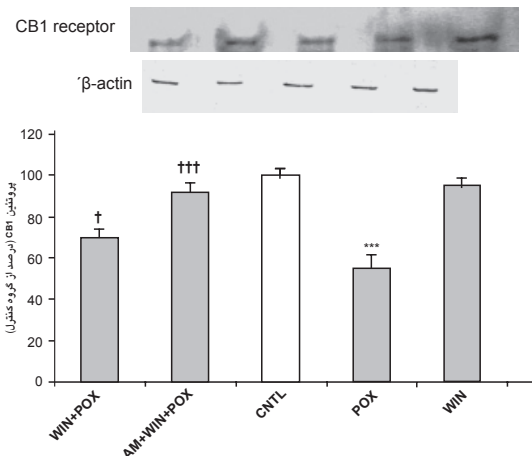


شکل ۲: اثر دوزهای مختلف آتاگونیست گیرنده CB1 (AM251) بر درصد بقای سلول های PC12 پس از ۴۸ ساعت انکوباسیون ($n=6$).

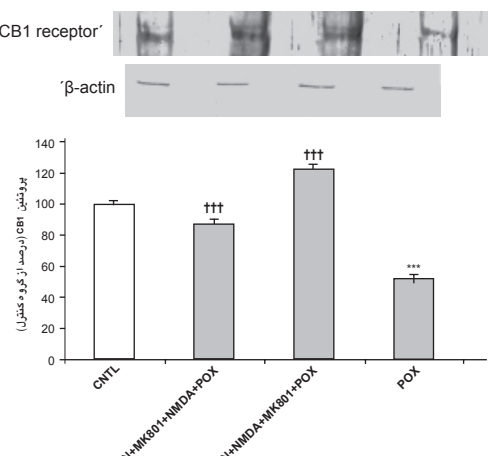
اثر حفاظتی-2 WIN55,212 و تداخل آن با گیرنده NMDA



شکل ۶: اثر تداخل کانابینوئیدها با NMDA بر درصد بقای سلول‌های PC12 در گروه‌های مختلف داروها با فواصل ۱۵ دققه‌ای به محیط کشت اضافه شدند و در نهایت سلول‌های تیمار شده ۴۸ ساعت انتکوبه شدند.
*، **، *** به ترتیب نشان دهنده $p < 0.05$ ، $p < 0.01$ و $p < 0.001$ در مقایسه با گروه پاروکسان.
††† نشان دهنده $p < 0.001$ در مقایسه با گروه WIN+MK801+NMDA+POX ($n=6$).

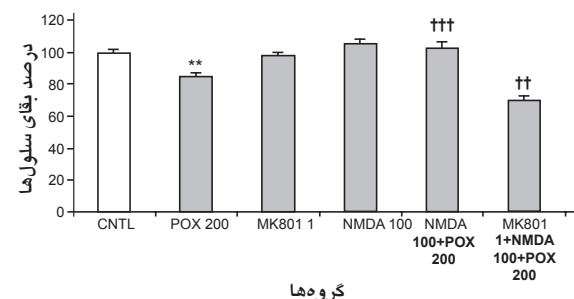


شکل ۷: آنالیز وسترن بلات گیرنده CB1 در هنکام اثر توم کانابینوئیدها با پاروکسان در سلول‌های PC12.
*، ** نشان دهنده $p < 0.05$ و $p < 0.01$ به ترتیب نشان دهنده $p < 0.05$ و $p < 0.01$ در مقایسه با گروه گروه پاروکسان ($n=6$).



شکل ۸: آنالیز وسترن بلات گیرنده CB1 در هنکام اثر توم NMDA با WIN55,212-2 در سلول‌های PC12.
*، ** نشان دهنده $p < 0.05$ و $p < 0.01$ در مقایسه با گروه گروه پاروکسان ($n=6$).
††† نشان دهنده $p < 0.001$ در مقایسه با گروه WIN+POX.

اثر توم NMDA با پاروکسان بر درصد بقای سلول‌های PC12 نتایج بقای سلول‌ها در هنگامی که سلول‌ها با ۱۵ NMDA دقیقه قبل از پاروکسان تیمار شدند، نشان داد که در گروه NMDA همراه با پاروکسان درصد بقای سلول‌های PC12 در مقایسه با گروه پاروکسان به طور معنی داری افزایش می‌یابد ($p < 0.001$). برای تعیین اینکه آیا اثر حفاظتی NMDA از طریق گیرنده NMDA انجام می‌شود؟ دوز ۱ میکرومولار MK801 (آنتاگونیست گیرنده NMDA) در گروه دیگری مورد بررسی قرار گرفت. در این گروه سلول‌های PC12 با ۱۵ MK801 با NMDA و پاروکسان ۱۵ دقیقه بعد از NMDA تیمار شدند. نتایج نشان داد که اثرات حفاظتی MK801 توسعه مهار می‌شود ($p < 0.01$). بنابراین به نظر می‌رسد که اثر حفاظتی ممکن است از طریق گیرنده انجام شود (شکل ۵).



شکل ۵: اثر توم NMDA با پاروکسان بر درصد بقای سلول‌های PC12. ۱۵ دقیقه قبل از پاروکسان به محیط کشت اضافه شد MK801 (NMDA+POX) و در گروه دیگر (NMDA) ۱۵ دقیقه قبل از NMDA و پاروکسان ۱۵ دقیقه بعد از NMDA به محیط کشت اضافه شدند (MK+NMDA+POX). در نهایت سلول‌های تیمار شده ۴۸ ساعت انتکوبه شدند.
** نشان دهنده $p < 0.01$ در مقایسه با گروه کنترل.
††† نشان دهنده $p < 0.001$ به ترتیب نشان دهنده $p < 0.01$ و $p < 0.001$ در مقایسه با گروه پاروکسان ($n=6$).

اثر تداخل تداخل WIN55,212-2 با NMDA بر درصد بقای سلول‌های PC12 نتایج تداخل WIN55,212-2 با NMDA نشان می‌دهد در گروه WIN+NMDA+MK801+POX سلول‌ها به ترتیب با در فواصل ۱۵ دقیقه ای WIN+NMDA+POX سلول‌ها به ترتیب با در فواصل ۱۵ دقیقه ای تیمار شدند. همچنین در گروه دیگری WIN+MK801+NMDA+POX به طور معنی داری افزایش یافتند ($p < 0.01$). اما در گروهی که سلول‌ها با WIN+MK801+NMDA+POX در فواصل ۱۵ دقیقه ای تیمار شدند، درصد بقای سلولی نسبت به پاروکسان کاهش معنی داری را نشان داد ($p < 0.001$) (شکل ۶).

اثر توم کانابینوئیدها با پاروکسان بر میزان بیان پروتئین گیرنده CB1 سلول‌های PC12 نتایج وسترن بلات نشان داد که پاروکسان میزان بیان پروتئین گیرنده CB1 را به طور معنی داری نسبت به گروه کنترل کاهش می‌دهد ($p < 0.01$). اما WIN55,212-2 نسبت به گروه کنترل تفاوتی را نشان نمی‌دهد. میزان بیان پروتئین گیرنده CB1 در دو گروه پاروکسان افزایش یافت ($p < 0.01$) (شکل ۷).

مستقل کاناینوئیدها از گیرنده‌های شان ارایه شده است که شامل:
۱. اثر مستقیم کاناینوئیدها بر کانال‌های کلسیمی دریچه‌دار وابسته به ولتاژ

۲. اثر بر سیاست و سایر ویژگی‌های فیزیکوشیمیایی غشا
یافته‌های اخیر پیشهاد می‌کنند که کانابینوئیدها بیشتر اثر
تعدیل کنندگی خود را از طریق اثر مستقیم بر کانال‌های کلسیمی
اعمال می‌کنند (۱۷).

در این مطالعه، میزان بیان گیرنده کانابینوئیدی CB1 در سلول‌های PC12 ارزیابی شد. هنگامی که سلول‌های PC12 در مععرض پاروکسان قرار گرفتند، میزان تراکم باند نسبت به کنترل کاکاوهش یافت. بنابراین به نظر می‌رسد پاروکسان با کاکاوهش بیان پرتوئین گیرنده CB1 و بلوک گیرنده CB1 سمیت خود را القا کرده است (۱۸).

در گروهی که WIN55,212-2 به تنهایی استفاده شد، تراکم باند به طور تقریب همانند کنترل است. به نظر می‌رسد WIN55,212-2 در بیان گیرنده CB1 هیچ تغییری ایجاد نمی‌کند. نتیجه مشابهی جایاچن و همکاران در سلول‌های AF5 گرفته بودند (۱۴). از طرفی WIN55,212-2 همراه با پاروکسان بیان گیرنده CB1 را به طور معنی‌داری نسبت به پاروکسان افزایش داد. بنابراین WIN55,212-2 می‌تواند یا از طریق افزایش بیان گیرنده CB1 (۱۹) یا مهار بلوک گیرنده CB1 توسط پاروکسان (۱۸) عمل کرده باشد. با توجه به نتایج مطالعه فرناندز لوپز و همکاران (۱۹) می‌توان نتیجه WIN55,212-2 که به تنهایی اثری در افزایش بیان گیرنده CB1 ندارد اما هنگامی که همراه با پاروکسان استفاده می‌شود، WIN55,212-2 اثر سمیت پاروکسان را کاهش می‌دهد. به نظر می‌رسد که سیستم کانابینوئیدی در برابر محرك‌های آسیب‌زا مثل سوم و آسیت‌های مغزی وارد عمل می‌شود.

در گروهی که سلول‌ها در معرض ۲-۱۲ WIN55,212-2، و پاروکسان قرار گرفتند. شاهد نکته جالبی هستیم. به ظاهر AM251 آناتاگونیست گیرنده CB1 نه تنها اثر بر گردنده WIN55,212-2 در بلوک گیرنده توسط پاروکسان را مهار نمی‌کند بلکه بیان گیرنده را نسبت به گروه ترکیبی ۲-۱۲ WIN55,212-2 با پاروکسان افزایش می‌دهد. به نظر می‌رسد AM251 همانند یک آگونیست نسبی عمل کرده باشد (۲۰). این نتیجه در راستای عدم تاثیر AM251 در بازگرداندن اثر محافظتی ۲-۱۲ WIN55,212-2 در سنجش درصد بقای سلول‌ها می‌باشد. زیرا AM251 با وجود اینکه یک آناتاگونیست گیرنده CB1 است، نتوانست اثرات ۲-۱۲ WIN55,212-2 را معکوس ننماید. شاید AM251 از طریق تداخل با سایر عناصر غشایی رفتار خاصه از خود به نمایش می‌گذارد.

با توجه به بررسی‌های انجام شده قبلی، گلوتامات مرگ سلولی و اختلالات عصبی ایجاد می‌کند. امروزه ثابت شده است که فعالیت گیرنده‌های NMDA در تمایز و بقای سلول‌های عصبی نیز نقش دارند^(۶). علاوه بر این، نشان داده است که NMDA آگونوست گیرنده NMDA در دوزهای پایین (۱۰۰ میلی‌مولار) اثر حفاظتی برای سلول‌های عصبی ایجاد می‌کنند^(۲۱). بنابراین در نداده این مطالعه، در صد بقای سلول‌ها در هنگام تداخل اثر NMDA با پاروکسان را ارزیابی کردیم. نتایج حاصل از سنجش درصد بقای سلول‌ها نشان داد که NMDA همراه با سمیت پاروکسان از سلول‌های PC12 محافظت می‌کند.

بحث

اشر توأم WIN55,212-2 با NMDA بر میزان بیان پروتئین کیرنده PC12 سلول‌های CB1

نتایج نشان داد که گروههای تداخل-2 WIN55,212 با NMDA نسبت به گروه پاروکسان به طور معنی داری افزایش یافته‌اند ($p < 0.001$) (شکل ۸).

در این مطالعه، اثر احتمالی حفاظت نورونی WIN55,212-2 در برابر سمیت NMDA و تداخل NMDA در برابر سمیت ناشی از پاروکسان بررسی شد. برای مطالعه این ویژگی، از سلول‌های رده PC12 (فتوکرومومیستوما) استفاده شده است؛ زیرا همان طور که در مقدمه گفته شد این سلول‌ها مدل مناسبی برای مطالعات اثر حفاظتی WIN55,212-2 در برابر سمیت عوامل ارگانوفسفره می‌باشند.

نتایج فوق نشان می‌دهد که درصد بقای سلول‌ها در دوزهای ۳۰۰، ۲۰۰، ۱۰۰ و ۴۰۰ میکرومولار پاروکسان به طور معنی‌داری نسبت به گروه کنترل کاهش می‌یابند. با توجه به اینکه سلول در دوزهای بالای پاروکسان (۳۰۰ و ۴۰۰ میکرومولار) دچار مرگ سلولی از نوع نکروز می‌شوند (۱۳)، بنابراین دوز ۲۰۰ میکرومولار پاروکسان به عنوان دوز مناسب انتخاب شد. همچنین هنگامی که دوزهای مختلف WIN55,212-2 بررسی شد، در دوزهای بالای WIN55,212-2 سلول‌ها دچار مرگ و میر شدند در حالی که WIN55,212-2 با دوز ۱٪ به نظر می‌رسد اثر حفاظت کننده‌گی در سلول ایجاد کنند. در ادامه بررسی، هنگامی که سلول‌های PC12 با دوز ۱٪ میکرومولار WIN55,212-2 همراه با پاروکسان تیمار شدند، درصد بقای این سلول‌ها افزایش یافت (حدود ۲۰ درصد) که به نظر می‌رسد WIN55,212-2 با دوز ۱٪ میکرومولار اثر حفاظتی از خود نشان می‌دهد. جیاچن و همکاران، دوزهای مختلف WIN55,212-2 (۰/۱ تا ۱۰۰ میکرومولار) را در سلول‌های رده AF5 بررسی کردند. با افزایش دوز WIN55,212-2 درصد بقای سلول‌ها کاهش یافت. در حالی که دوزهای پایین WIN55,212-2 در بام سمیت NMDA اثر حفاظتی ایجاد کردند (۱۴).

علاوه بر این لوون و همکاران نتیجه مشابهی را در سلول‌های PC12 به دست آوردند و هنگامی که این سلول‌ها در مععرض سم بتا-آمیلوئید قرار گرفتند، توسط (آگونیست گیرنده Cannabidiol CB1) حفاظت شدند (۲). دیرنگل و همکاران گزارش کردند که دوزهای بالای کاناپینوئیدها منجر به افزایش فعالیت آنزیم‌های سیکلواکسیژنаз و لیپواکسیژناز می‌شوند. با فعالیت این آنزیم‌ها رادیکال‌های آزاد تولید می‌شوند که در نهایت اکسیداسون اسلایر و مگ‌سایا (۱۵) را در

پر سایه های یون پیسی و سریع ترین اینستینزی را در WIN55,212-2 می خواهیم داشت. در ادامه بررسی ها، سلول ها با AM251 (آنتاگونست گیرنده CB1) همراه با WIN55,212-2 و پاروکسان تیمار شدند. این کار برای تعیین این نکته که آیا اثر حفاظتی دیده شده از WIN55,212-2 به دلیل تحریک گیرنده CB1 بوده است یا خیر؟ انجام شد. یافته ها نشان داد که در حضور AM251 همراه با WIN55,212-2 و پاروکسان درصد بقای سلول ها کم نشد. بنابراین در مطالعه حاضر، یکی از دلایل مستقل از گیرنده عمل کردن اثر حفاظتی WIN55,212-2، می تواند مقدار کم گیرنده CB1 در سلول های PC12 تمایز نیافته باشد (۱۶) یا اینکه اثر حفاظتی WIN55,212-2 ممکن است از طریق مسیری یا مسیرهای دیگری غیر از گیرنده CB1 باشد. دو مکانیسم احتمالی، برای توجه عملکرد

است. همچنین در سیستم عصبی بین گیرنده‌های NMDA و CB1 تداخل عمل وجود دارد (۲۴). بوسیا و همکاران در تحقیق خود مشاهده کردند که در سلول‌های هپیوکامپ گیرنده‌های گلوتamatی از نوع mGlu1α و CB1 در جایگاه‌های نزدیک به هم قرار دارند. این تحقیق می‌تواند تاییدی برای نتایج به دست آمده در مطالعه حاضر باشد (۲۵).

نتیجه‌گیری

در یک نتیجه‌گیری کلی، این تحقیق نشان داد که WIN55,212-2 با توجه به دوز، سلول را تحت تاثیر قرار می‌دهد. دوز کم WIN55,212-2 اثر حفاظتی در برابر سمیت پاروکسان دارد. همچنین به نظر می‌رسد اثر حفاظتی در این تحقیق با بررسی بیان گیرنده CB1 و کاربرد آتناگونیست گیرنده CB1 (AM251) (AM251) می‌تواند از طریق گیرنده نباشد بلکه احتمال دارد این اثر از طریق سایر مکانیسم‌ها از جمله مهار کانال‌های کلسیمی دریچه‌دار وابسته به ولتاژ حاصل شود. در صورتی که NMDA اثر حفاظتی اش را از طریق گیرنده اعمال کرده است و بین اثر-2 WIN55,212-2 و NMDA در عمل حفاظت سلولی تداخل وجود دارد. بنابراین، این مطالعه می‌تواند مقدمه‌ای برای شروع کارهای دقیق تر و گسترده‌تری در این زمینه باشد.

تقدیر و تشکر

هزینه‌های مربوط به این تحقیق توسط دانشکده پزشکی دانشگاه علوم پزشکی بقیه‌الله، مرکز تحقیقات علوم اعصاب کاربردی پرداخت شد. لذا از همکاری این مرکز تشکر و قدردانی می‌شود.

References

1. Grottenhermen F. Cannabinoids. *Curr Drug Targets CNS Neurol Disord.* 2005; 4(5): 507-530.
2. Iuvone T, Esposito G, Esposito R, Santamaria R, Di Rosa M, Izzo AA. Neuroprotective effect of cannabidiol, a non-psychoactive component from Cannabis sativa, on beta-amyloid-induced toxicity in PC12 cells. *J Neurochem.* 2004; 89(1): 134-141.
3. Svízenská I, Dubový P, Sulcová A. Cannabinoid receptors 1 and 2 (CB1 and CB2), their distribution, ligands and functional involvement in nervous system structures--a short review. *Pharmacol Biochem Behav.* 2008; 90(4): 501-511.
4. Pazos MR, Núñez E, Benito C, Tolón RM, Romero J. Functional neuroanatomy of the endocannabinoid system. *Pharmacol Biochem Behav.* 2005; 81(2): 239-247.
5. Maejima T, Ohno-Shosaku T, Kano M. Endogenous cannabinoid as a retrograde messenger from depolarized postsynaptic neurons to presynaptic terminals. *Neurosci Res.* 2001; 40(3): 205-210.
6. Wu X, Tian F, Okagaki P, Marini AM. Inhibition of N-methyl-D-aspartate receptors increases paraoxon-induced apoptosis in cultured neurons. *Toxicol Appl Pharmacol.* 2005; 208(1): 57-67.
7. Kessiova M, Alexandrova A, Georgieva A, Kirkova M, Todorov S. In vitro effects of CB1 receptor ligands on lipid peroxidation and antioxidant defense systems in the rat brain. *Pharmacol Rep.* 2006; 58(6): 870-875.
8. Ramírez BG, Blázquez C, Gómez del Pulgar T, Guzmán M, de Ceballos ML. Prevention of Alzheimer's disease pathology by cannabinoids: neuroprotection mediated by blockade of microglial activation. *J Neurosci.* 2005; 25(8): 1904-1913.
9. García-Arencibia M, González S, de Lago E, Ramos JA, Mechoulam R, Fernández-Ruiz J. Evaluation of the neuroprotective effect of cannabinoids in a rat model of Parkinson's disease: importance of antioxidant and cannabinoid receptor-independent properties. *Brain Res.* 2007; 1134(1): 162-170.
10. Docagne F, Muñetón V, Clemente D, Ali C, Loría F, Correa F, Hernangómez M, Mestre L, Vivien D, Guaza C. Excitotoxicity in a chronic model of multiple sclerosis: Neuroprotective effects of cannabinoids through CB1 and CB2 receptor activation. *Mol Cell Neurosci.* 2007; 34(4): 551-561.
11. Greene LA, Tischler AS. Establishment of a noradrenergic clonal line of rat adrenal pheochromocytoma cells which respond to nerve growth factor. *Proc Natl Acad Sci USA.* 1976; 73(7): 2424-2428.
12. Bradford MM. A rapid and sensitive method for quantitation of microgram quantities of protein utilizing the principle of protein-dye binding. *Anal. Biochem.* 1976; 72: 248-254.
13. Yousefpour M, Bahrami F, Shahsavani behboodi B, Khoshbaten A, Asgari A. Paraoxon-induced ultrastructural growth changes of rat cultured hippocampal cells in neurobasal/B27. *Toxicology.* 2006; 217: 221-227.
14. Chen J, Lee C, Errico S, Deng X, Cadet JL, Freed WJ. Protective effects of Δ9-tetrahydrocannabinol against N-methyl-D-aspartate-induced AF5 cell death. *Brain Res Mol Brain Res.* 2005; 134: 215-225.

طی بررسی انجام شده که بنگتسون و همکاران گزارش شد که گیرنده‌های NMDA با توجه به جایگاه‌شان نسبت به سیناپس می‌تواند اثر حفاظتی یا آسیب نورونی ایجاد کند (۲۶). مکانیسم‌های حفاظتی مختلفی برای اثر حفاظتی NMDA معرفی شده است. از جمله می‌توان به مکانیسم وابسته به کالسیم، تحریک تولید BDNF، مهار مسیر آپوپتوزی JNK، فعالیت مسیرهای حیات سلول (MAPK/ERK1/2, PI3-K/Akt, NFKB, PKA/CREB) اشاره کرد (۲۷).

در این مطالعه هنگامی که سلول‌ها با MK801 قبل از NMDA تیمار شدند، درصد بقای سلول‌ها کاهش یافت. این نتایج نشان می‌دهد، هنگامی که جلوی عملکرد MK801 توسط NMDA گرفته شد. سمیت القا شده به تنهایی حتی بیشتر از پاروکسان بوده است. این نتیجه می‌تواند ناشی از حذف اثرات محافظتی NMDA باشد. طی تحقیق ویو و همکاران، اثر حفاظتی NMDA در سلول‌های گرانول مغزی در معرض پاروکسان بررسی شد؛ آنها مهار آنزیم Caspase 3 توسط NMDA را مسئول اثر حفاظتی در سلول‌های گرانول مغزی معرفی کردند (۲۸).

در نهایت درصد بقای سلول‌ها و میزان بیان گیرنده CB1 در هنگام تداخل اثر-2 WIN55,212-2 با NMDA ارزیابی شد. نتایج نشان داد که در هنگام تداخل-2 WIN55,212-2 با NMDA درصد بقای سلول‌ها و میزان بیان گیرنده CB1 نسبت به پاروکسان افزایش می‌یابد. با توجه به این نتایج به نظر می‌رسد در عمل محافظتی سلولی بین سیستم‌های گلوتamatی و کاتاپینوئیدی تداخل وجود دارد. فرارو و همکاران در تحقیق خود نتیجه گفتند که گلوتamat برای تکثیر، رشد و تکامل سلول‌های عصبی در دوره جنبی لازم

15. Dirnagl U, Iadecola C, Moskowitz MA. Pathobiology of ischaemic stroke: an integrated view. *Trends Neurosci.* 1999; 22(9): 391-397.
16. Molderings GJ, Bonisch H, Hammermann R, Gothert M, Bruss M. Noradrenaline release-inhibiting receptors on PC12 cells devoid of alpha2 and CB(1) receptors: similarities to presynaptic imidazoline and edg receptors. *Neurochem Int.* 2002; 40:157-167.
17. Murat Oz. Receptor-independent actions of cannabinoids on cell membranes: focus on endocannabinoids. *Pharmacol Ther.* 2006; 111 (1): 114-144.
18. Nallapaneni A, Liu J, Karanth S, Pope C. Modulation of paraoxon toxicity by the cannabinoid receptor agonist WIN55,212-2. *Toxicology.* 2006; 227(1-2): 173-183.
19. Fernández-López D, Martínez-Orgado J, Nuñez E, Romero J, Lorenzo P, Moro MA, and Lizasoain I. Characterization of the neuroprotective effect of the cannabinoid agonist WIN55,212-2 in an in vitro model of hypoxic-ischemic brain damage in newborn rats, *Pediatr. Res.* 2006; 60: 169-173.
20. Sommer C, Schomacher M, Berger C, Kuhnert K, Müller HD, Schwab S, Schäbitz WR. Neuroprotective cannabinoid receptor antagonist SR141716-A prevents downregulation of excitotoxic NMDA receptors in the ischemic penumbra. *Acta Neuropathol.* 2006; 112(3): 277-286.
21. Bahrami F, Yousefpour M, Mehrani H, Golmanesh L, Sadraee SH, Khoshbaten A, Asgari A. Type of cell death and the role of acetylcholinesterase activity in neurotoxicity induced by paraoxon in cultured rat hippocampal neurons. *Acta Biol Hung.* 2009; 60(1): 1-13.
22. Bengtson CP, Dick O, Bading H. A quantitative method to assess extrasynaptic NMDA receptor function in the protective effect of synaptic activity against neurotoxicity. *BMC Neurosci.* 2008; 24(9): 11.
23. Jantas D, Lason W. Different mechanisms of NMDA-mediated protection against neuronal apoptosis: a stimulus-dependent effect. *Neurochem Res.* 2009; 34(11): 2040-2054.
24. Ferraro L, Tomasini MC, Beggiato S, Gaetani S, Cassano T, Cuomo V, Amoroso S, Tanganeli S, Antonelli T. Short- and long-term consequences of prenatal exposure to the cannabinoid agonist WIN55,212-2 on rat glutamate transmission and cognitive functions. *J Neural Transm.* 2009; 116(8): 1017-1027.
25. Boscia F, Ferraguti F, Moroni F, Annunziato L, Pellegrini-Giampietro DE. mGlu1alpha receptors are co-expressed with CB1 receptors in a subset of interneurons in the CA1 region of organotypic hippocampal slice cultures and adult rat brain. *Neuropharmacology.* 2008; 55(4): 428-439.